

Строение и динамика развития дюнных массивов Вилюйского бассейна в позднечетвертичное время (на примере ткуланов Махатта и Кысыл-Сыр)

М. Р. ПАВЛОВА¹, Н. А. РУДАЯ^{2,3,4,5}, А. А. ГАЛАНИН¹, Г. И. ШАПОШНИКОВ¹

¹ Институт мерзлотоведения им. П. И. Мельникова СО РАН
677010, Якутск, ул. Мерзлотная, 36
E-mail: Nigaer@yandex.ru

² Институт археологии и этнографии СО РАН
630090, Новосибирск, просп. акад. Лаврентьева, 17

³ Новосибирский государственный университет
630090, Новосибирск, ул. Пирогова, 2

⁴ Казанский (Приволжский) федеральный университет
420008, Казань, ул. Кремлевская, 18

⁵ Алтайский государственный университет
656049, Барнаул, просп. Димитрова, 66

Статья поступила 11.10.2016

Принята к печати 26.01.2017

АННОТАЦИЯ

Представлены результаты комплексного изучения отложений массивов дюнных песков – ткуланы Махатта и Кысыл-Сыр Вилюйского бассейна (Центральная Якутия). На основании литологических и палинологических данных, а также 17 радиоуглеродных датировок, установлено строение, выполнена предварительная реконструкция динамики развития ткуланов Вилюйского бассейна и окружающих их природных условий в хронологический интервал их формирования – поздний плейстоцен – голоцен. В результате исследования установлено, что ткуланы представляют собой эоловый тип отложений, залегающий на осадочной толще сложного фациального строения. Развитие растительности последних 40 тыс. лет охарактеризовано четырьмя этапами, а стадии развития дюнных массивов представлены тремя хроностратиграфическими фазами.

Ключевые слова: ткулан, литология, радиоуглеродное датирование, возрастная модель, палинология, плейстоцен, голоцен, Центральная Якутия.

Вилюйский бассейн – один из районов распространения уникальных реликтовых и современных массивов дюнных песков в Яку-

тии, называемых в данном регионе ткуланами. На исследуемой территории они занимают значительные площади порядка 60 тыс. км².

Наиболее крупные древние песчаные массивы приурочены к долине нижнего и среднего течения р. Вилой.

В геоморфологическом отношении тукуланы являются дюнами высшего порядка, в строении которых четко прослеживаются три ступени рельефа: мезорельеф (цепь дюн), микрорельеф (дюны, котловины выдувания, коридоры выдувания, междюнные понижения) и нанорельеф (кочки, куртины, микровалы, “глинистые грибы”, рябь течения) [Павлова и др., 2015].

Различные аспекты природы дюнных массивов Якутии рассматривались в работах многих исследователей географов, ботаников, геоморфологов, мерзлотоведов и геологов начиная с позапрошлого века: Р. К. Маак (1886), С. С. Кузнецов (1927), А. А. Григорьев (1932), Т. А. Работный (1935), И. И. Невяжеский, Р. А. Биджиев (1960), Е. Г. Катасонова, А. Н. Толстов (1963), М. Н. Алексеев, Р. Е. Гитерман (1973), П. Д. Павлов, Э. П. Мальцев, В. В. Шепелев (1981), В. В. Колпаков (1983); В. В. Лукин, Л. Н. Толстыхин, (2005, 2008) и др. [Григорьев, Павлов, 1977; Павлова и др., 2016].

Однако все опубликованные исследования практически не охватывают или очень слабо освещают палеогеографические вопросы развития тукуланов, таких как возраст, история формирования, особенности пространственно-временных изменений растительности и климата изучаемых образований и региона в целом, что затрудняет изучение динамики климата четвертичного периода Якутии и связанных с этим изменений криолитозоны, палеоландшафтов и палеобиоты.

Цель настоящей работы – реконструкция строения, динамики развития тукуланов Вилуйского бассейна и окружающих их природных условий в позднетретичное время на основе результатов литологического, спорово-пыльцевого и радиоуглеродного анализов отложений дюнных массивов – тукуланов Махатта и Кысыл-Сыр.

Изучаемые тукуланы являются характерными представителями криогенно-эоловых образований Якутии. Вскрытые в пределах дюнных массивов разрезы, дополняющие один другой, позволяют проследить всю историю развития данных объектов и территории в целом в исследуемый период времени.

МАТЕРИАЛ И МЕТОДЫ

Материалом для изучения строения и динамики дюнных массивов Вилуйского бассейна в позднетретичное время послужили образцы, отобранные авторами с ключевых участков тукуланов Махатта и Кысыл-Сыр в 2014–2015 гг.

Тукулан Кысыл-Сыр ($63^{\circ}54'10''$ с. ш., $123^{\circ}23'40''$ в. д., высота 108 м над ур. м.), площадь – 19 км² [Савин, Павлов, 2015], располагается в 35 км в северо-восточном направлении от пос. Кысыл-Сыр в долине нижнего течения р. Вилой (рис. 1).

Тукулан Махатта ($63^{\circ}54'50''$ с. ш., $122^{\circ}32'46''$ в. д., высота 103 м над ур. м.) находится на левом берегу р. Вилой в 10 км в северо-западном направлении от пос. Кысыл-Сыр вверх по течению. Его площадь составляет 214 км².

Заложена серия из восьми разрезов, из которых наиболее комплексно изучили два (№ 449 и 088). В лабораторных условиях материал проанализировали с применением комплекса методов, включающих литологический, радиоуглеродный, палинологический анализы, а также определение содержания органического вещества.

Радиоуглеродный анализ выполнен методом жидкостной сцинтилляции на спектрометре-радиометре Quantulus 1220 в лаборатории общей геокриологии мерзлотоведения им. И. П. Мельникова СО РАН (г. Якутск). Материалом для датирования послужили отобранные в ходе апробирования разрезов торф, гумусированная супесь и рассеянный органический детрит. Калибровку радиоуглеродных дат производили с использованием калибровочной кривой IntCal13 [Reimer et al., 2009].

Химическую подготовку проб для спорово-пыльцевого анализа производили в палинологической лаборатории института археологии и этнографии СО РАН (г. Новосибирск) с применением сепарационного метода Гриччука для минеральных отложений и Фаегри – Иверсена для торфов [Пыльцевой анализ, 1950; Палеопалинология, 1966]. Для подсчета концентрации палиноморф добавляли таблетки калиброванных спор *Lycopodium* [Stockmarr, 1971].

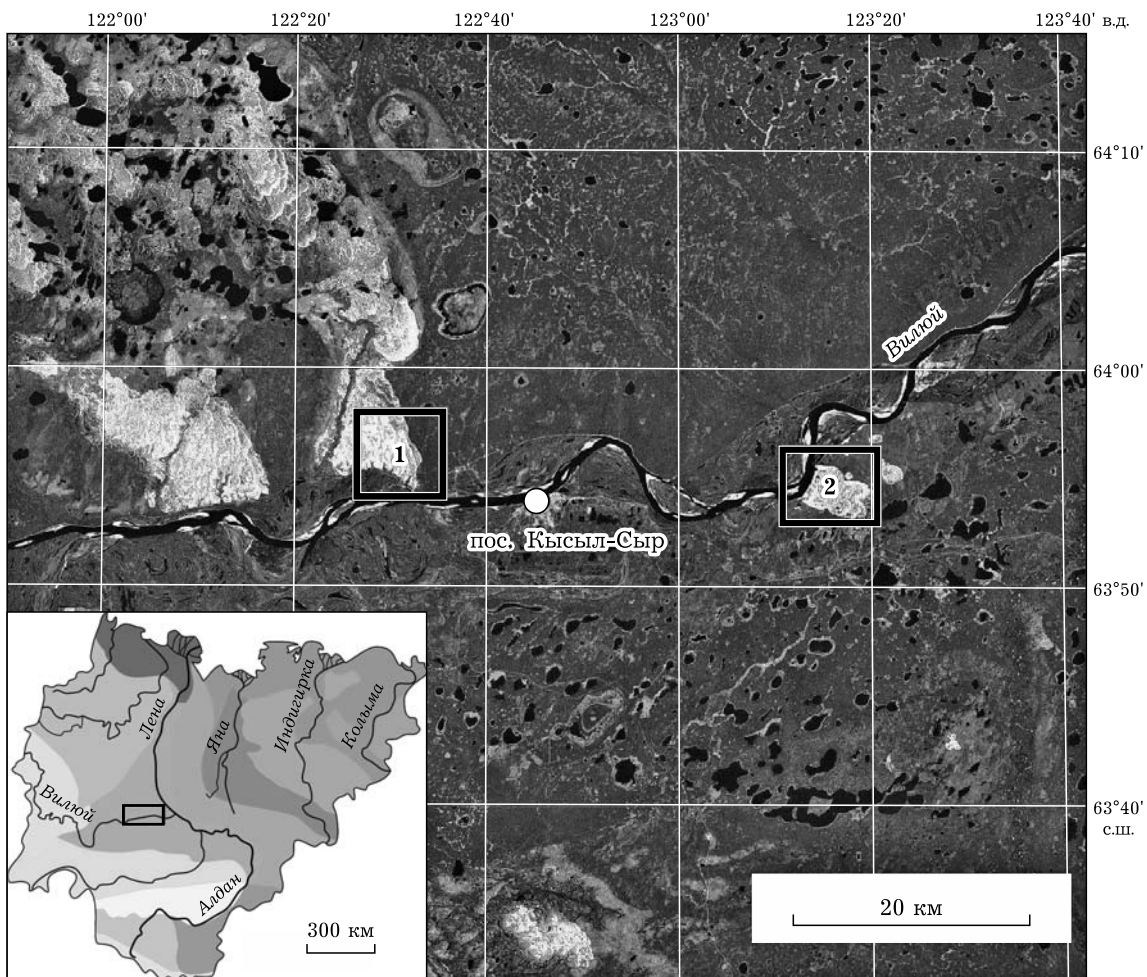


Рис. 1. Географическое расположение района и объектов (ключевых участков) исследования.

1 – Тукулан Махатта, 2 – Тукулан Кысыл-Сыр

Микроскопирование проводилось с использованием светового микроскопа проходящего света Zeiss (PRIMO STAR и AXIOIMAGER D2) с увеличением 400 раз. Подсчет пыльцевых зерен составлял не менее 300 единиц. По результатам исследования построены спорово-пыльцевые диаграммы с помощью программного обеспечения TILIA_1.7.16 [Grimm, 1991]. Выделение палинозон проводили с применением кластерного анализа с использованием программы CONISS [Grimm, 1987]. Процентные соотношения пыльцы и спор вычислялись от суммы всех определенных пыльцевых зерен и спор.

Для 17 предварительно высушенных образцов грунтового материала (навески по 10–20 г.), отобранных из разреза № 088 (тукулан Махатта), определено содержание обще-

го органического вещества методом потери при прокаливании при 450 °C в муфельной печи по стандартной методике [Santisteban et al., 2004].

Для выделения продолжительности периодов развития растительности и стадий развития тукуланов Махатта и Кысыл-Сыр с помощью пакета Bacon_2.2 [Blaauw, Christen, 2011] в программе R [R. A language..., 2013] созданы возрастные модели. Для тукулана Кысыл-Сыр модель построена только для верхней части отложений, для остальной части осадочной толщи, из-за отсутствия серии радиоуглеродных дат, определение продолжительности этапа основано на единичной радиоуглеродной дате и корреляции с другими разрезами по литературным данным [Алексеев, 1961; Гитерман, 1963].

РЕЗУЛЬТАТЫ

Литологическое описание отложений.

Разрез № 449 заложен в пределах естественного обнажения тукулана Кысыл-Сыр, протяженность которого составляет более 3 км. Отложения вскрыты в центральной части погребенной палеокотловины на участке наиболее развитого торфяника, перекрытого сверху толщей современных эоловых песков (табл. 1). Видимая мощность разреза составляет 9 м.

Второй разрез № 088 приурочен к краевой части тукулана Махатта. Общая мощность

отложений составляет 5 м. Они представлены чередованием среднезернистого и мелкозернистого песка с торфом, сверху перекрыты эоловой пачкой осадков (табл. 2).

Радиоуглеродное датирование и возрастные модели. Радиоуглеродные даты получены для 17 образцов. Результаты датирования приведены в табл. 3, 4.

На основании построенной возрастной модели (рис. 2) для верхней части разреза (0,1–2,5 м) получена хронология изменения растительности и стадий развития тукулана Кысыл-Сыр в интервале 9900–3300 калиброванных лет назад (кал. л. н.). На глубине

Т а б л и ц а 1

Литологическое описание разреза № 449, заложенного в пределах естественного обнажения тукулана Кысыл-Сыр

Характеристика отложений	Глубина, м
Песок светло-желтый мелкозернистый	0,0–0,2
Торф темно-коричневый, слаборазложенный, осоково-моховой	0,2–1,2
Торф темно-коричневый, слаборазложенный с примесью песка серого мелкозернистого, мерзлый	1,2–1,7
Песок желтый с серым оттенком среднезернистый	1,7–2,0
Перегнойно-гумусовые отложения с примесью песка желтого с серым оттенком мелкозернистого	2,0–5,2
Песок желтый мелкозернистый	5,2–5,7
Суглинок серый с прослойками супеси серой	5,7–6,0
Песок желтый мелкозернистый косослоистый	6,0–6,6
Песок светло-желтый крупнозернистый	6,6–6,9
Галька с прослойками гравия	6,9–7,3
Гравий с песком серым крупнозернистым косослоистое залегание	7,3–7,9
Суглинок тяжелый темно-серый	7,9–8,3
Гравий с песком серым крупнозернистым	8,3–9,0

Т а б л и ц а 2

Литологическое описание разреза № 088, заложенного в пределах естественного обнажения тукулана Махатта

Характеристика отложений	Глубина, м
Растительно-почвенный слой	0–0,02
Песок светло-серый среднезернистый перекрестно-косослоистый с прослойками супеси пылеватой с включениями корней растений	0,02–1,5
Песок светло-серый пылеватый с прослойками песка желтого пылеватого с включениями корней растений	1,5–1,9
Торф светло-коричневый	1,9–2,1
Песок светло-серый среднезернистый с включениями и остатками корней растений	2,1–2,4
Торф светло-коричневый, кустарничково-осоковый	2,4–3,1
Песок светло-серый среднезернистый с прослойками торфа светло-коричневого и линзами темно-коричневого дегрита	3,1–3,6
Торф темно-коричневый с серым оттенком с линзами песка серого среднезернистого	3,6–3,8
Песок серый мелкозернистый с линзами торфа и неразложившегося дегрита	3,8–4,1
Песок серый среднезернистый с прослойками темно-коричневого дегрита	4,1–5,0

Таблица 3

Радиоуглеродные даты отложений опорного разреза № 449, заложенного в пределах тукулана Кысыл-Сыр

Лабораторный номер	Глубина отбора, м	Материал	^{14}C возраст, лет	Калибранный возраст, кал. лет
MPI-43	0,1–0,2	Торф	3320 ± 90	3825–3370
MPI-49	0,5–0,6	То же	3540 ± 95	4090–3590
MPI-51	0,8–0,9	»	3800 ± 75	4415–3980
MPI-53	1,0–1,1	»	3830 ± 90	4515–3975
MPI-48	1,2–1,3	»	3990 ± 90	4815–4155
MPI-52	1,3–1,4	»	5840 ± 100	6890–6410
MPI-42	1,7–1,8	Интенсивно гумусированная супесь	8140 ± 135	9440–8640
MPI-37	3,75–4,5	Рассеянный органический детрит	$28\,400 \pm 600$	33\,700–31\,260

1,3 м наблюдается “разрыв” в модели, предположительно указывающий на перерыв в осадконакоплении.

Построенная возрастная модель для разреза № 088 тукулана Махатта (рис. 3) характеризует развитие дюнного массива в интервале 2600–300 кал. л. н.

Палинологический анализ. Изучение ископаемых спор и пыльцы проведено по отложениям двух разрезов. В ходе спорово-пыльцевого анализа обработано 47 образцов. По результатам в Кысыл-Сырском разрезе выделено четыре палинозоны (рис. 4), в разрезе Махатта – две (рис. 5).

Характеристика палинозон разреза № 449 тукулана Кысыл-Сыр.

PZI (8,0–5,5 м). Палинозона отличается доминированием пыльцы ели *Picea* (73,9–94,5 %). При этом отмечена крайне низкая концентрация пыльцы в пробе (82–332 зерен/г), что может свидетельствовать о ее переот-

ложеннном характере. Пыльца трав составляет 0,6–17,8 % с преобладанием *Artemisia*, *Chenopodiaceae* и *Poaceae*; споры – 3,8–8,9 %. В целом концентрации пыльцы и спор в этой зоне очень низкие (деревья – 91–359 зерен/г, травы – 2–20, споры 9–19 зерен/г).

PZII (5,5–2,5 м). Палинозона характеризуется преобладанием пыльцы *Picea* (65,9–94,5 %). В отличие от PZI, в этой зоне она является непереотложенной, что подтверждается относительно высокой концентрацией, которая изменяется от 705 до 2794 зерен/г. Пыльца трав составляет 2,3–16,4 % с преобладанием *Ranunculaceae*, *Chenopodiaceae*, *Cyperaceae* и *Poaceae*; спор – 1,1–6,2 %.

PZIII (2,5–1,3 м, 9900–6700 кал. л. н.). В целом доминируют древесные породы (до 83,9 %), среди которых преобладает *Betula* spp. (24,2–68,2 %). Пыльца трав составляет 16,1–48,7 %, с преобладанием *Cyperaceae*, *Poaceae*, *Ericaceae* и *Artemisia*; споры – 0,9–

Таблица 4

Радиоуглеродные даты отложений разреза № 088, заложенного в пределах тукулана Махатта

Лабораторный номер	Глубина отбора, м	Материал	^{14}C возраст, лет	Калибранный возраст, кал. лет
MPI-82	1,9–2,1	Торф	600 ± 300	860–300
MPI-78	2,4–2,55	То же	670 ± 70	680–570
MPI-77	2,65–2,7	»	1420 ± 180	1520–1150
MPI-83	2,8–2,9	»	2040 ± 170	2240–1820
MPI-81	2,9–3,0	»	2140 ± 190	2360–1920
MPI-88	3,3–3,4	»	2000 ± 150	2160–1790
MPI-90	3,6	»	3220 ± 180	3670–3220
MPI-85	4,1	»	2480 ± 180	2740–2350
MPI-89	4,45	Рассеянный органический детрит	2450 ± 340	2920–2100

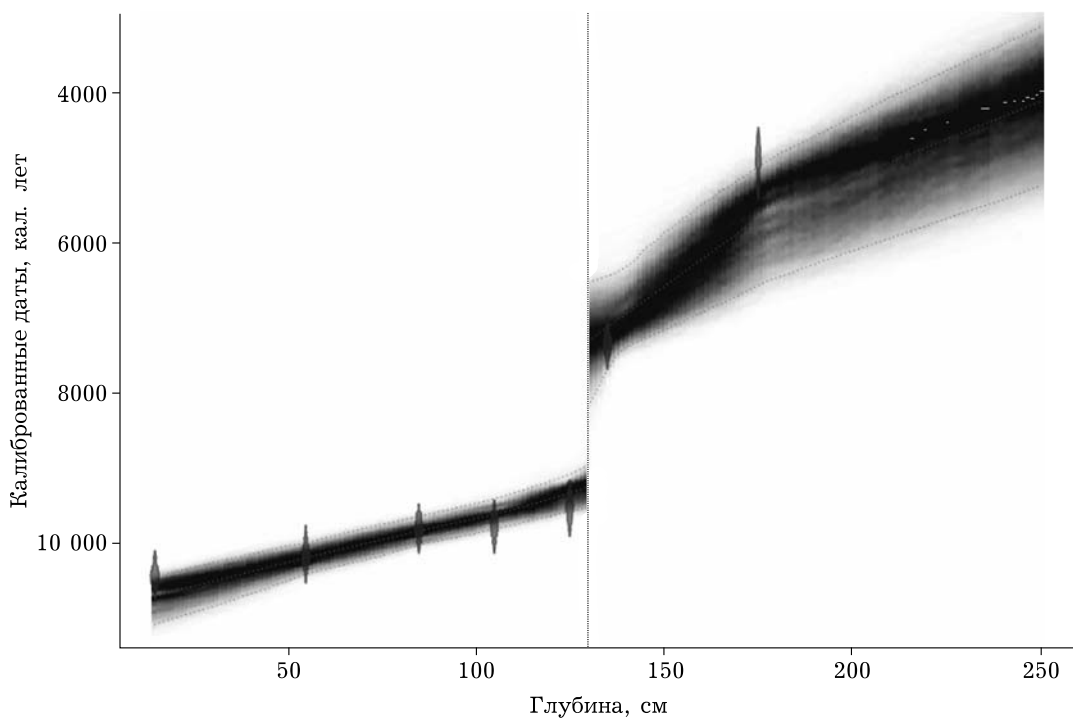


Рис. 2. Возрастная модель верхней части разреза № 449 (0–250 см) позднечетвертичных отложений, тукулан Кысыл-Сыр (Центральная Якутия)

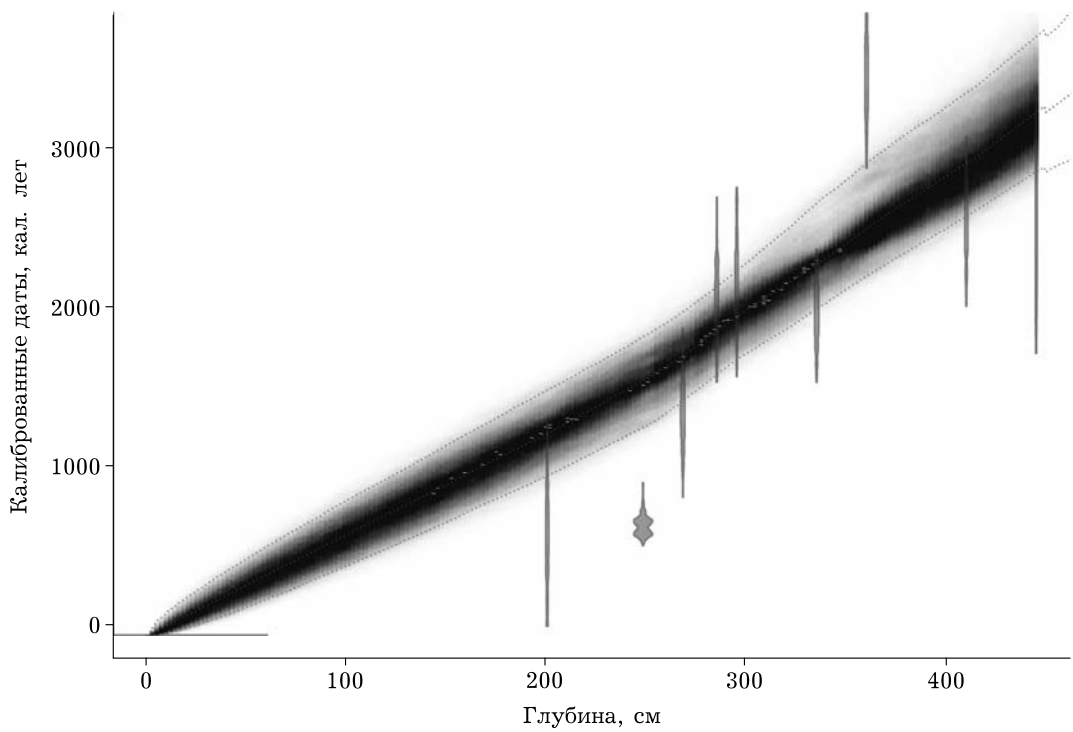


Рис. 3. Возрастная модель позднечетвертичных отложений разреза № 088 тукулана Махатта (Центральная Якутия)

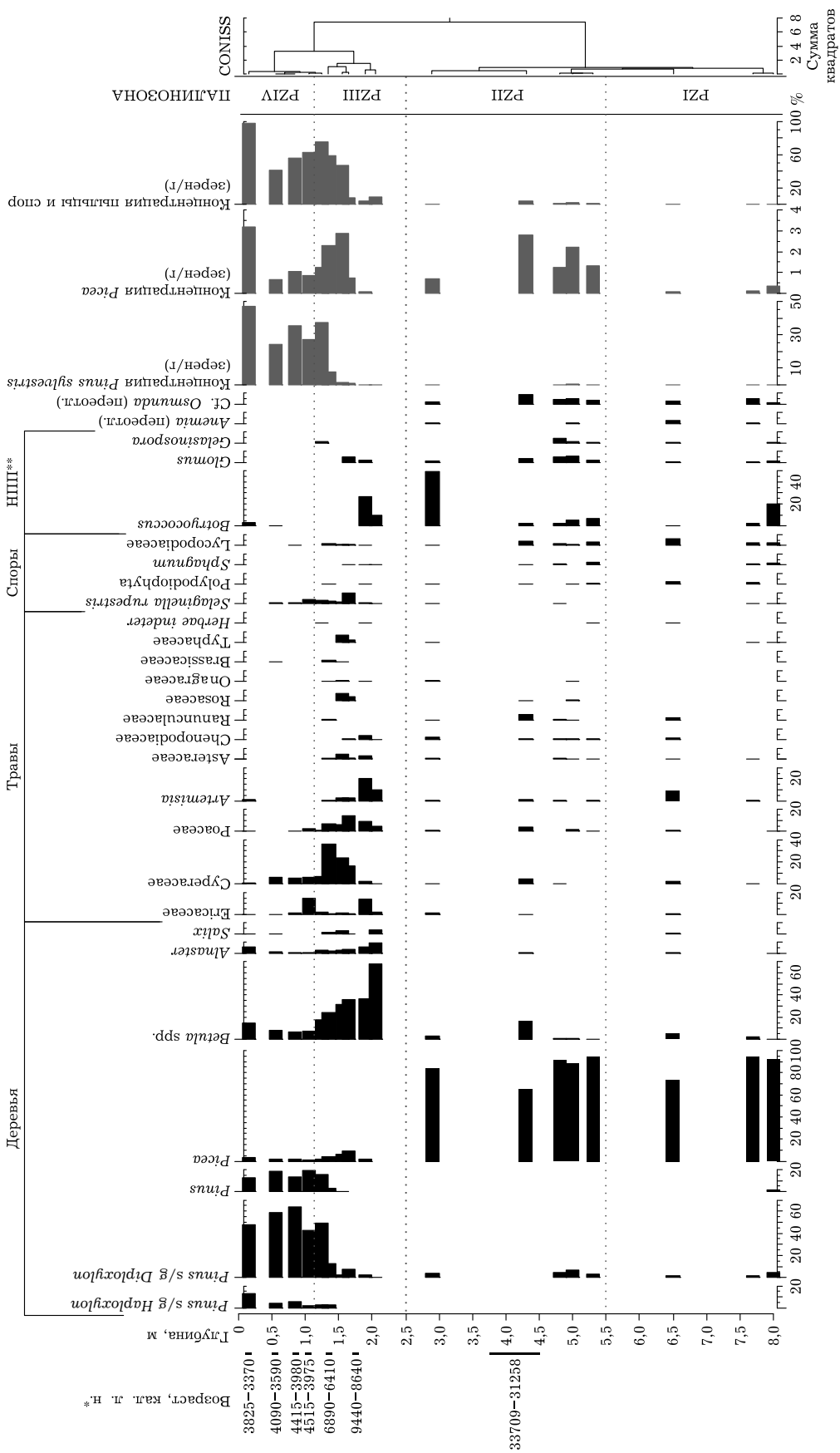


Рис. 4. Палинологическая диаграмма разреза № 449 позднечетвертичных отложений, тукулан Кызыл-Сыр (Центральная Якутия).

* Полный перечень галендарных дат приведен в табл. 3; ** НПП – непальцевые палиноморфы

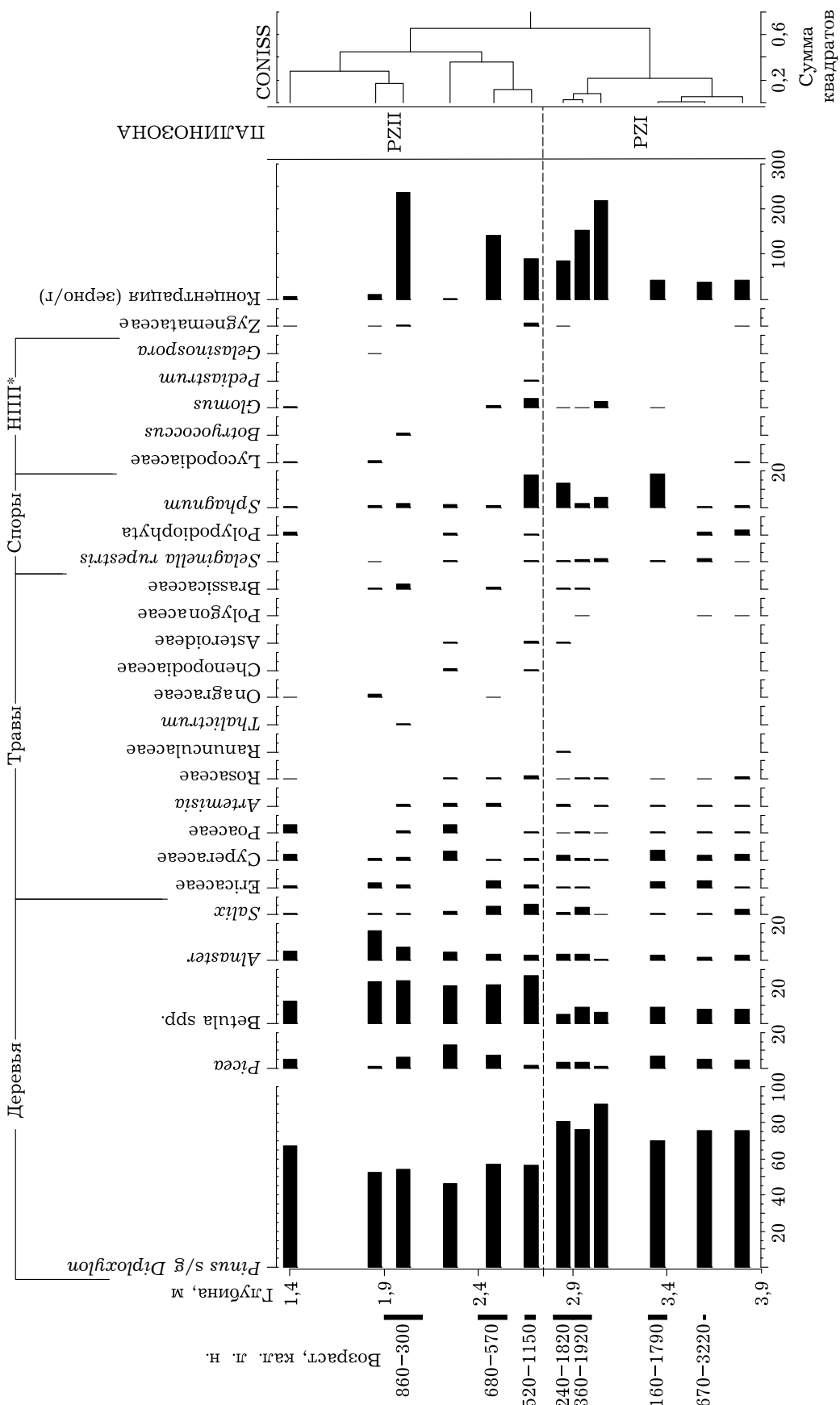


Рис. 5. Палеонтологическая диаграмма разреза № 088 позднечетвертичных отложений, тукулан Махатта (Центральная Якутия).

* НПШ – непальцевые палиноморфы

10,6 %. Концентрации пыльцы и спор в палинозоне увеличиваются в среднем для деревьев в 6–9 раз, трав – в 40 раз, спор – в 12 раз.

PZIV (1,3–0,1 м, 6700–3300 кал. л. н.). Палинозона отличается резким увеличением пыльцы древесных пород (до 98 %) по сравнению PZIII, с преобладанием хвойных – *Pinus s/g Diploxyylon* (43,0–63,6 %), *Pinus s/g Haploxyylon* (2,0–13,0 %) и уменьшением пыльцы трав (2,3–9,2 %) с преобладанием Супергесеае и Poaceae. Споры составляют 1,3–1,9 %.

Характеристика палинозон разреза № 088 тукулана Махатта.

PZI (4,0–2,8 м, 2600–1800 кал. л. н.). Палинозона отличается доминированием древесных пород (до 98,4 %), среди которых преобладает *Pinus s/g Diploxyylon* (69,8–90,3 %). Присутствует небольшое количество пыльцы других деревьев *Picea* (1,3–7,1 %), *Betula* spp. (6,0–9,0 %) и *Alnaster* (0,6–3,4 %). Пыльца трав составляет 1,6–6,5 %, с преобладанием Ericaceae, Superaceae, Rosaceae, Poaceae и *Artemisia*; споры – 3,6–19,1 %. *Selaginella rupestris* составляет 0,3–2 %.

PZII (2,8–1,3 м, 1800–760 кал. л. н.). В целом доминируют древесные породы (86,3–96 %). Уменьшается содержание пыльцы *Pinus s/g Diploxyylon* (46,5–67,2 %) и заметно увеличивается *Betula* spp. (12,3–26,2 %) и *Alnaster* (2,9–15,9 %). Пыльца трав составляет 3,5–9,3 %, с преобладанием Ericaceae, Superaceae, Poaceae; споры – 2–25,9 %. *Selaginella rupestris* составляет 0,1–0,8 %.

Потеря при прокаливании. Определение содержания общего органического вещества или потери при прокаливании при 450 °C (ППП_{450 °C}) выполнено для 17 образцов разреза № 088. Результаты показаны на рис. 6. Нижняя часть разреза (5,0–4,0 м) представлена песком среднезернистым с прослоями дегрита и характеризует современную фаацию ручья Кысыл-Юрях, наледей и временных склоновых водотоков. Содержание ППП_{450 °C} небольшое и постепенно увеличивается снизу вверх по разрезу с 0,27 до 3,41 %. Интервал с 4,0 по 2,8 м (2600–1100 кал. л. н.) представлен в основном торфом. ППП_{450 °C} составляет 11,52–20,79 %. Верхняя часть разреза (1,9–0,02 м, 1100–0 кал. л. н.) сложена отложениями эоловой фации. Содержание ППП_{450 °C}

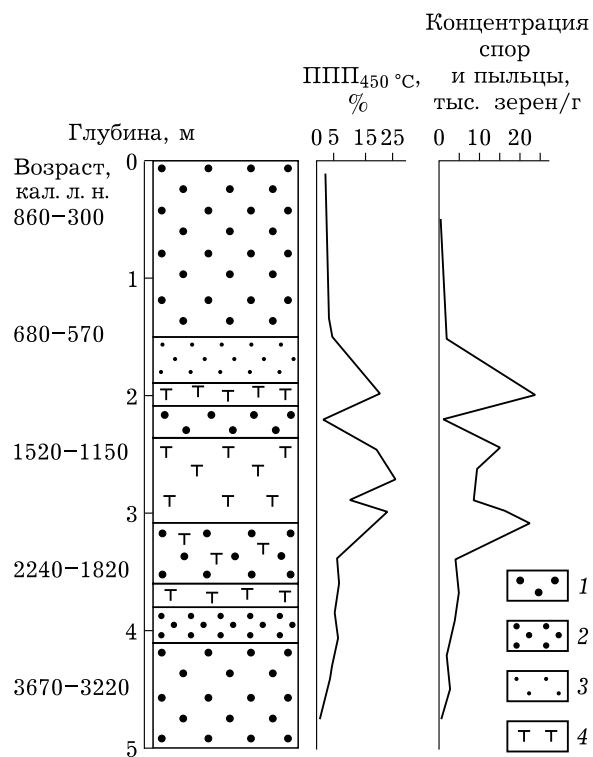


Рис. 6. Распределение органического вещества (ППП_{450 °C}) по разрезу № 088, заложенного в пределах тукулана Махатта.

1 – песок среднезернистый, 2 – песок мелкозернистый, 3 – песок пылеватый, 4 – торф

уменьшается снизу вверх по разрезу с 1,74 до 0,09 %.

ОБСУЖДЕНИЕ

Строение осадочной толщи, на которой залегают, либо погребены тукуланы Виллюйского бассейна, характеризуется пестрым фациальным составом. Она содержит невыдержаные горизонты неясного флювиального генезиса, включая прослои пойменных и озерно-болотных отложений, древние почвенные и торфяные горизонты, единичные гальки и гравий, прослои дрейкантров, погребенные эоловые наносы (отложения тукуланов), в также специфические син- и эпигенетические ледово-грнтовые жилы [Катасонова, Толстов, 1963; Катасонова, 1972]. Фациальное разнообразие осадочной толщи с выраженным эоловыми горизонтами свидетельствуют об изменчивости и существенной нестабильности условий их накопления,

что затрудняет понимание генетической принадлежности данного комплекса в целом.

На основании литологических и палинологических данных выполнена предварительная реконструкция истории развития и динамики дюнных массивов – тукуланов Кысыл-Сыр и Махатта. Согласно результатам радиоуглеродного датирования хронологический интервал их формирования охватывает три морские изотопные стадии (МИС-3–МИС-1), что согласуется с полученными ранее данными [Урбан, Галанин, 2013] по изучению тукулана Кысыл-Сыр.

Поздний плейстоцен. В основании тукуланов Вилуйского бассейна (в частности, Махатта и Кысыл-Сыр) лежит аллювиальная пачка отложений, представленная косослоистыми песками среднезернистыми с прослойями гравия и мелкой гальки (русловая фация). На ее кровле залегают суглинки с тонкодисперсным растительным детритом (пойменная фация). Время формирования данной толщи относится к каргинскому интестадиалу. Согласно литературным данным [Гитерман, 1963; Томская, 1973; Величко, 1999; Фотиев, 2006], в этот период существовал достаточно суровый и резко континентальный климат, что способствовало формированию полей и покровов эоловых песков с сингенетическими повторно-жильными льдами.

Спорово-пыльцевые спектры, полученные авторами из аллювиальных отложений (палинозоны РЗI–РЗII, разрез № 449, тукулан Кысыл-Сыр), свидетельствуют об относительно бедном растительном покрове окружающих ландшафтов.

Многие исследователи [Гитерман, 1963; Шофман и др., 1977; Фотиев, 2006] сходятся на том, что в каргинское время в исследуемом регионе доминировали относительно сухие лиственнично-кустарниковые редколесья с примесью *Betula albae*, а также различные варианты кустарниковых тундр, обедненных степей (тундростепей) и лугов. На более сухих участках – водоразделах и бровках террас – встречались рощи из *Pinus pumila* и *P. s/g Diploxyylon*. Из кустарников доминировали плаунки, верескоцветные и др.

Согласно результатам настоящего исследования, небольшое содержание в спектрах пыльцы *Picea* – представителя умеренно

влажной темнохвойной бореальной тайги, говорит о ее переотложенном характере из более древних осадков теплых эпох, предположительно Казанцевского межледникового. По литературным данным [Andreev et al., 2011], преобладание в спектрах Сурегасеae, Роасеae и высокое содержание переотложенной пыльцы Pinaceae отражают суровые условия и низкое биоразнообразие растительных сообществ. Высокое содержание переотложенной пыльцы свидетельствует о деградации (эрозии) более древних отложений, подтверждая тем самым разрезенный растительный покров [Andreev et al., 2011].

В дальнейшем увеличение концентрации *Picea* в разрезе № 449 и пиковое ее содержание, которое приходится на период 31 000–33 000 л. н. (MPI-37), объясняются, по нашему предположению, локальным распространением данного вида в исследуемом районе. Возможно, в данный период существовали более благоприятные условия и ель произрастала в поймах или на пониженных участках (на основании проведения аналогии с современным развитием еловых лесов в данном регионе).

Выше каргинского пойменного горизонта в разрезе тукуланов залегает пачка эоловых отложений мощностью до 20–23 м, по нашим данным формировавшаяся в сартанский стадиал. О сухих и холодных климатических условиях той эпохи свидетельствует перекрестная слоистость песков, указывающая на поступательную динамику эоловых процессов и криотурбированность суглинистых отложений. Рыхлое сложение и высокая пористость предполагает воздушное осаждение частиц; крайне низкая льдистость и практически полное отсутствие растительных остатков указывают на климатические условия холодной криопустыни [Галанин и др., 2015б].

В данный период, возможно, происходит практически полное исчезновение древесной растительности на территории Вилуйского бассейна и в Центральной Якутии в общем, что приводит к распространению криостепей и каменистых полупустынь.

Данный факт подтверждается стратиграфическим перерывом в осадконакоплении в разрезе № 449 (тукулан Кысыл-Сыр) на глуби-

бине 3–3,75 м, который приходится на сартанский стадиал (см. рис. 2).

С этим этапом совпадает первая стадия активного формирования ткуулана Кысыл-Сыр, о чём свидетельствует мощная пачка песчаных отложений.

Эоловые процессы постепенно затухают около 12 500 л. н., а всхолмленная поверхность дюнных массивов начинает постепенно закрепляться куртинами *Artemisia*, *Thymus*, *Polygonum* и некоторых видов злаков. Сначала произошло закрепление наиболее пониженных участков – котловин выдувания и междюнных понижений [Галанин и др., 2015б].

Голоцен. В пределах ткуулана Кысыл-Сыр в разрезе № 449 на глубине 0,2–1,7 м авторами вскрыта толща погребенного торфяника, перекрытого сверху толщей современных эоловых песков. Полученные спорово-пыльцевые и радиоуглеродные данные позволили с определенной точностью реконструировать события, которые происходили в пределах ткуулана Кысыл-Сыр и изучаемого региона в целом за период 10 000–3000 л. н.

Авторами выделено два этапа развития дюнных массивов и изучаемой территории в данный период:

I этап продолжался 9900–6700 кал. л. н. (см. рис. 2). По данным А. А. Андреева с соавт. [Andreev et al., 2009], в районе исследования оказалась распространена лесотундра, характеризующаяся березовым редколесьем. Об этом свидетельствуют присутствие *Ericaceae* – типичного элемента северо-таежных и лесотундровых сообществ, а также *Selaginella rupestris* – яркого маркера тундр. В наиболее увлажненных днищах междюнных котловин ткууланов развивались луговые ассоциации, сменившиеся затем осоковыми болотами [Галанин и др., 2015б]. По нашим данным, к концу периода происходит уменьшение *Betula* spp. с 68,2 до 24,2 % и увеличением пыльцы *Cyperaceae* и *Rosaceae*.

Изменение климата и условий осадконакопления привело к постепенному угасанию и затем полному затуханию в развитии дюнных массивов, в частности и ткуулана Кысыл-Сыр.

Около 6000–5000 л. н. в его растительном покрове снова происходят существенные

изменения. В результате повышения среднегодовых температур увеличиваются глубины сезонного протаивания [Галанин и др., 2015б].

В течение II этапа (6700–3300 кал. л. н.) лесотундра постепенно отступает к северу, болота иссушаются, вследствие чего начинают преобладать сосновые леса, в основном из *Pinus s/g Diploxyylon*, с примесью березы. Возможно, местами присутствовали березовые редколесья [Павлова и др., 2015; Andreev et al., 2011].

По данным А. А. Урбан [Урбан, Галанин, 2013], в данный период происходит активизация дюнообразования в изучаемом регионе, которая началась около 5–4,5 тыс. л. н. после окончания бореального оптимума, что не соответствует полученным данным.

Авторы считают, что фаза активации эоловых процессов наступила на много позже – около 2,5 тыс. л. н. Это связано с похолоданием и аридизацией климата в данное время [Фотиев, 2006], а также с сильными пожарами, уничтожающими огромные площади лесов.

Дюноактивация происходила постепенно на общем фоне развития и закрепления поверхности ткууланов сосновыми лесами.

Вскрытая пачка отложений в разрезе № 088 с 4,0 по 2,8 м (2600–1100 кал. л. н.), представленная в основном торфом, как раз подтверждает факт благоприятных условий для развития растительности (концентрация спор и пыльцы от 3,7 до 23,6 тыс. зерно/г) и дальнейшего ее отложения (ПП_{450 °C} составляет 11,52–20,79 %) в начале этапа.

В дальнейшем леса периодически подвергались пожарам, уничтожавшим огромные площади, что привело к активизации очередной (современной) фазы эоловых процессов. Данный факт подтверждается результатами вскрытия и описания осадочной толщи отложений изучаемых разрезов, в которых сохранился выдержаный горизонт со множеством углей и головешек деревьев на глубине 2–3 м от поверхности современных дюн.

Об активации эоловых процессов свидетельствуют данные полученные авторами в ходе определения содержания общего органического углерода в верхней части разре-

за № 088 (2,8–0,02 м, 1100–0 кал. л. н.), где происходит резкое сокращение растительного покрова (концентрация спор и пыльцы 637 зерно/г) и захоронения растительных остатков (ППП₄₅₀ °С уменьшается снизу вверх по разрезу с 1,74 до 0,09 %).

В дальнейшем происходит постепенное восстановление растительных сообществ после пожаров – увеличивается доля берески, которая затем вытесняется хвойными деревьями [Галанин и др., 2015б]. Полученные данные подтверждаются результатами споро-пыльцевого анализа (PZI–PZII, разрез № 088) из разреза осадочной толщи тукулана Махатта за период 2600–700 л. н. Встречающиеся в спектрах споры гриба *Gelasinospora* – индикатора пожаров [Prescott et al., 2014] – также свидетельствуют о данном факте.

В нижней части разреза Махатта (5,0–4,0 м) залегает фауна ручья Кысыл-Юрях, наледей и временных склоновых водотоков – суффозионно-пролювиальная, представленная песком среднезернистым с органическими остатками. Радиоуглеродные даты (MPI-85 – 2740–2350 MPI-89 – 2740–2350 кал. л. н.) подтверждают тот факт, что более молодые отложения (ручья и временных водотоков) залегают под более древними, и доказывают подмытие и оползание склона тукуулана Махатта из-за его движения.

Во время Малого ледникового периода эоловые процессы в регионе вновь активизировались. Абсолютные даты погребенных почвенных горизонтов и деревьев свидетельствуют о том, что возраст современных активных дюн в Вилуйском бассейне не превышает 400–600 лет [Галанин и др., 2015а].

ЗАКЛЮЧЕНИЕ

Отложения дюнных массивов (тукуланов) Вилуйского бассейна по палинологическим и радиоуглеродным данным имеют поздне-плейстоценовый – голоценовый возраст.

Тукуланы являются эоловым типом отложений, представленным погребенными и современными дюнными горизонтами, залегающими на осадочной толще сложного фациального строения. Она состоит из аллювиаль-

ных (русловой и пойменной), эоловых (погребенных тукуланов), озерно-болотных фаций, с прослойками гравия, гальки и дрейкантеров, погребенных древних почвенных и торфяных горизонтов, а также современными пролювиально-суффозионными отложениями.

В районе исследования за последние 40 тыс. лет выделены следующие этапы развития растительности:

I этап (каргинский интерстадиал – сартанский стадиал). Первая половина этапа характеризуется развитием лиственнично-кустарниковых редколесий с примесью *Betula sect. albae*, различных вариантов кустарниковых тундр, обедненных степей и лугов, а также островным развитием еловых лесов. В сартанский стадиал происходит полное исчезновение древесной растительности и развитие криостепей, каменистых полупустынь и пустынь.

II этап (9900–6700 кал. л. н.) – лесотундра с заболоченными участками.

III этап (6700–3300 кал. л. н.) – сосновые леса с примесью берески.

IV этап (2600–700 кал. л. н.) – сосновые леса и горельники.

Установлены стадии формирования дюнных массивов Вилуйского бассейна (на примере тукуланов Махатта и Кысыл-Сыр): 1) активное развитие тукуланов (поздний плейстоцен); 2) затухание (ранний голоцен – начало среднего голоцена); 3) новая фаза развития тукуулана (около 2500 л. н.), которая продолжается и по настоящее время.

Работа выполнена в рамках проекта РФФИ № 16-35-50147_мол_нр, гранта Главы Республики Саха (Якутия) для студентов, аспирантов, молодых ученых и специалистов 2016 г., РФФИ-РС(Я) № 15-45-05129 р_восток_а. Выполнение палинологического анализа проведено на средства Российской научного фонда (РНФ: 14-50-00036). Участие Н. А. Рудой поддержано за счет средств субсидии, выделенной в рамках государственной поддержки Казанского (Приволжского) федерального университета в целях повышения его конкурентоспособности среди ведущих мировых научно-образовательных центров, а также при поддержке гранта Министерства образования и науки РФ (Постановление № 220), полученного

ФГБОУ ВПО “Алтайский государственный университет”, проект № 2013-220-04-129 “Древнейшее заселение Сибири: формирование и динамика культур на территории Северной Азии”.

ЛИТЕРАТУРА

- Алексеев М. Н. Материалы по орографии кайнозойских отложений и геоморфологии центральной части Вилюйской впадины // Алмазы Якутии. М.: Изд-во АН СССР, 1961. С. 181–226.
- Величко А. А. Изменение климата и ландшафтов за последние 65 млн лет. М.: ГЕОС, 1999. 260 с.
- Галанин А. А., Дьячковский А. П., Лыткин В. М., Бурнашева М. П., Шапошников Г. И., Куть А. А. Результаты определения абсолютного возраста образцов в радиоуглеродной лаборатории Института мерзлотоведения СО РАН // Наука и образование. 2015а. № 4. С. 45–49.
- Галанин А. А., Павлова М. Р., Дьячковский А. П., Павлов Б. А. Феномен тукуланов Центральной Якутии: плейстоценовая криопустыня // Наука и техника в Якутии. 2015б. № 2 (29). С. 23–31.
- Гиттерман Р. Е. Этапы развития четвертичной растительности Якутии и их значение для стратиграфии. М.: Изд-во АН СССР, 1963. 191 с.
- Григорьев К. Д., Павлов П. Д. О происхождении золовых песков (тукуланов) Центральной Якутии // Природа и хозяйство Сибири. 1977. С. 53–54.
- Катасонова Е. Г. Криогенные образования в сезонно-протаивающих золовых отложениях Центральной Якутии // Геокриологические и гидрогеологические исследования Сибири. Якутск: Якут. кн. изд-во, 1972. С. 80–89.
- Катасонова Е. Г., Толстов А. Н. Геокриологические особенности развеиваемых песков (тукуланов) правобережья р. Вилюй // Многолетнемерзлые горные породы различных районов СССР. М.: Изд-во АН СССР, 1963. С. 166–178.
- Павлова М. Р., Галанин А. А., Павлов Б. А. Геоморфологические особенности тукуланов долины нижнего течения р. Вилюй // Геоморфологические ресурсы и геоморфологическая безопасность: от теории к практике: мат-лы Всерос. конф. (VII Щукинские чтения). М.: МАКС Пресс, 2015. С. 482–484.
- Павлова М. Р., Галанин А. А., Рудая Н. А. Палинологические и радиоуглеродные данные о верхнечетвертичных отложениях дюнного массива – тукулан Кызыл-Сырский (Центральная Якутия) // Динамика окружающей среды и глобальные изменения климата. 2016. № 1 (13). С. 100–107.
- Палеопалинология / под ред. И. М. Покровской. Л.: Недра, 1966. Т. 1. 251 с.
- Пыльцевой анализ / под ред. И. М. Покровской. М.: Госгеолиздат, 1950. 570 с.
- Савин И. Ю., Павлов Б. А. Многолетние изменения поверхности тукулана Кызыл-Сыр, выявленные по космическим изображениям “Landsat” // Экология бассейна реки Вилюй: проблемы и перспективы исследований. Якутск: Издательский дом СВФУ, 2015. С. 75–83.
- Томская А. И. История развития Якутии в четвертичном периоде // Палинология плейстоцена и плиоцен. М.: Наука, 1973. С. 99–102.
- Урбан А. А., Галанин А. А., Чжан Т. Р. Литолого-минералогическая характеристика перевеваемого песчаного комплекса “Кызыл-Сырский” // Разведка и охрана недр. 2013. № 12. С. 23–27.
- Урбан А. А., Галанин А. А. Новые данные о строении и возрасте отложений золово-мерзлотных образований Центральной Якутии (на примере тукулана Кызыл-Сыр) // Наука и образование. 2013. № 1. С. 77–81.
- Фотиев С. М. Современные представления об эволюции криогенной области Западной и Восточной Сибири в плейстоцене и голоцене // Криосфера Земли. 2006. Т. 10, № 2. С. 3–26.
- Шофман И. Л., Кинд Н. В., Пахомов М. М., Прокопчук Б. И., Виноградова С. Н., Сулержицкий Л. Д., Форова В. С. Новые данные о возрасте отложений низких террас в бассейне р. Вилюй // Бюл. комиссии по изучению четвертичного периода. 1977. № 47. С. 100–107.
- Andreev A. A., Grosse G., Schirrmeyer L., Kuznetsova T. V., Kuzmina S. A., Boborov A. A., Tarasov P. E., Novenko E. Y., Meyer H., Derevyagin A. Y., Kienast F., Bryantseva A., Kunitsky V. V. Weichselian and Holocene palaeoenvironmental history of the Bol'shoy Lyakhovsky Island, New Siberian Archipelago, Arctic Siberia // Boreals. 2009. Vol. 38. P. 72–110.
- Andreev A. A., Schirrmeyer L., Tarasov P. E., Ganopolski A., Brovkin V., Siegert C., Wetterich S., Hubberten H. W. Vegetation and climate history in the Laptev Sea region (Arctic Siberia) during Late Quaternary inferred from pollen records // Quaternary Sci. Rev. 2011. Vol. 30. P. 2182–2199.
- Blaauw M., Christen J. A. Flexible paleoclimate age – depth models using an autoregressive gamma process // Bayesian Analysis. 2011. Vol. 3, N 6. P. 457–474.
- Grimm E. CONISS: A FORTRAN 77 program for stratigraphically constrained cluster analysis by the methods of incremental sum of squares // Computers & Geosci. 1987. Vol. 13. P. 13–15.
- Grimm E. TILIA and TILIAGRAPH. Springfield: Illinois State Museum. 1991. 56 p.
- Prescott C. L. et al. Assessing orbitally-forced in terglacial climate variability during the mid-Pliocene Warm Period // Earth Planet. Sci. Lett. 2014. Vol. 400. P. 261–271.
- R: A language and environment for statistical computing // R Development Core Team. Vienna: R Foundation for Statistical. 2013.
- Reimer P. J et al. Intcal09 and Marine09 radiocarbon age calibration curves, 0–50,000 years cal BP // Radiocarbon. 2009. Vol. 51. P. 1111–1150.

Santisteban J. I., Mediavilla R., Lypez-Pamo E., Dabrio C. J., Zapata M. B. R., Garcia M. J. G., Castano S., Martinez-Alfaro P. E. Loss on ignition: a qualitative or quantitative method for organic matter and carbo-

nate mineral content in sediments // *J. Paleolimnol.* 2004. Vol. 32. P. 287–299.
Stockmarr J. Tablets with spores used in absolute pollen analysis // *Pollen et Spores*. 1971. Vol. 13. P. 615–621.

The Structure and Dynamics of the Dune Massifs from the Vilyui River Basin in Late Quaternary (Case Study of Maxatta and Kysyl-Syr Tukulans)

M. R. PAVLOVA¹, N. A. RUDAYA^{2,3,4,5}, A. A. GALANIN¹, G. I. SHAPOSHNIKOV¹

¹ *Melnikov Institute of permafrostology, SB RAS*
677010, Yakutsk, Merzlotnaya str., 36
E-mail: Nigaer@yandex.ru

² *Institute of Archaeology and Ethnography, SB RAS*
630090, Novosibirsk, Acad. Lavrentiev ave., 17

³ *Novosibirsk State University*
630090, Novosibirsk, Pirogova str., 2

⁴ *Kazan (Volga) Federal University*
420008, Kazan, Kremlevskaya str., 18

⁵ *Altai State University*
656049, Barnaul, Dimitrova ave., 66

Results of complex investigation of deposits from the dune massifs – tukulans Mahatta and Kysyl-Syr from the Vilyui river basin (Central Yakutia) are presented. On the basis of lithological and palynological data, and also on 17 radiocarbon dates, we reconstructed the structure of tukulans, performed a preliminary reconstruction of their development in the Vilyui river basin and of the environmental conditions during the chronological interval of their formation: Late Pleistocene – Holocene. We found that tukulans represent an aeolian type of deposits lying on sedimentary layers of a complex facial structure. Development of the vegetation during the last 40 thousand years can be divided into four stages; development of the tukulans is represented by three chronostratigraphical phases.

Key words: tukulan, lithology, radiocarbon dating, age model, palynology, Pleistocene, Holocene, Central Yakutia.